

スピントロニクス・デザインコース

Spintronics Design Course

基礎 1

Fundamentals 1

白井 正文

Shirai, Masafumi

東北大大学 電気通信研究所

Research Institute of Electrical Communication, Tohoku University

第47回 CMD Workshop

(2025年9月1日～9月5日, オンライン開催)

1

講義内容

Contents

0. スピントロニクスと社会

Spintronics and the human society

1. 孤立イオンの磁気モーメント

Magnetic moments of an isolated ion

2. 磁場中の磁気モーメントの運動

Motion of a magnetic moment in a magnetic field

3. 結晶中の磁性イオン(結晶場)

Magnetic ions in a crystal (crystal field)

・単一イオンの磁気異方性

Magnetic anisotropy of a single ion

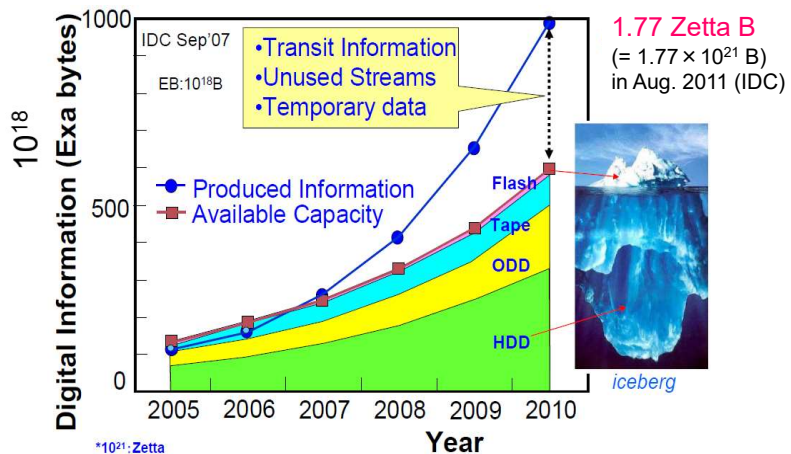
4. 原子核と電子の相互作用

Interaction between atomic nuclei and electrons

2

デジタルデータの年間生産量と記録可能容量

Produced digital data / Available recording capacity

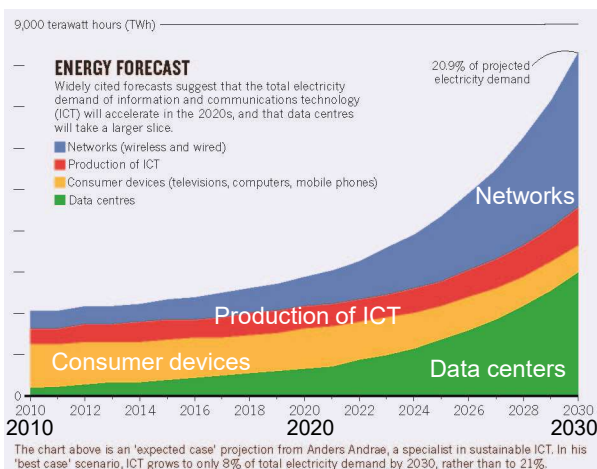


- デジタル情報生産量は5年で10倍増加
Digital information has been expanding 10 times over 5 years.
- 記録媒体の容量は大幅に不足 Insufficient recording capacity

3

急増する情報通信技術の電力消費

Electricity demand of information and communication technology (ICT)



情報通信技術の電力消費は
8,000 TWh を越え、全体の
21% を占める。(2030年)

Electricity demand of ICT
will exceed 8,000 TWh,
which is about 21% of total
electricity demand in 2030.

We need energy-saving /
environmentally harmonic
ICT based on spintronics.

N. Jones, Nature 561, 163 (2018).

4

Conventional Information Technologies

Electronic Degrees of Freedom

© Intel

© Everspin Technologies

© Everspin Technologies

© Intel

© Everspin Technologies

© Everspin Technologies

5

- High-performance devices in the next generation
High speed, Large scale, Low power consumption
- New paradigm in information technology
Neuromorphic computing, Quantum computing

MRAM (Magnetoresistive Random Access Memory)

Reading a bit

Word Line

Bit Line

- 不揮発 *Non-volatile*
- 高速入出力 *Fast read/write*
- 高集積化 *Scalability*
- 高耐久性 *High endurance*

Magnetic tunnel junctions (MTJ)

"1"

"0"

Ferromagnet
Insulator
Ferromagnet

© Everspin Technologies

6

1. 孤立イオンの磁気モーメント

Magnetic moments of an isolated ion

7

電子の軌道運動 orbital motion of electron

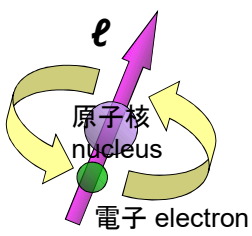
電磁界中の電子(質量 m , 電荷 $-e$)のハミルトニアン

Hamiltonian for an electron (mass m , charge $-e$) in electromagnetic field

$$H = \frac{1}{2m} [\mathbf{p} + \frac{e}{c} \mathbf{A}]^2 - e\Phi \quad \begin{array}{l} \text{ベクトルポテンシャル} \\ \text{vector potential} \end{array}$$

$$\mathbf{H} = \text{rot } \mathbf{A} = (0, 0, H) \quad \mathbf{A} = \frac{H}{2}(-y, x, 0)$$

$$H = \frac{p^2}{2m} + \left[\frac{eH}{2mc} (xp_y - yp_x) \right] + \frac{e^2 H^2}{8mc^2} (x^2 + y^2) - e\Phi$$



$$-\boldsymbol{\mu}_\ell \cdot \mathbf{H}$$

$$\hbar \ell_z = (\mathbf{r} \times \mathbf{p})_z = xp_y - yp_x$$

軌道磁気モーメント orbital magnetic moment ポア磁子 Bohr magneton

$$\boldsymbol{\mu}_\ell = -\frac{e\hbar}{2mc} \mathbf{l} = -\mu_B \mathbf{l} \quad \mu_B = \frac{e\hbar}{2mc}$$

電子スピン electron spin

スピン角運動量 spin angular momentum

$$\hbar s = \frac{\hbar}{2} \boldsymbol{\sigma} \quad s = 1/2 \quad \begin{array}{c} \text{スピン量子数} \\ \text{spin quantum number} \end{array} \quad \begin{array}{l} \text{↑} \\ \text{↓} \end{array} = \begin{pmatrix} 1 \\ 0 \end{pmatrix} \quad \begin{array}{l} \text{↑} \\ \text{↓} \end{array} = \begin{pmatrix} 0 \\ 1 \end{pmatrix}$$

パウリ行列 Pauli matrix

$$\sigma_x = \begin{pmatrix} 0 & 1 \\ 1 & 0 \end{pmatrix} \quad \sigma_y = \begin{pmatrix} 0 & -i \\ i & 0 \end{pmatrix} \quad \sigma_z = \begin{pmatrix} 1 & 0 \\ 0 & -1 \end{pmatrix}$$

交換関係 Commutation relation $[s_x, s_y] = s_x s_y - s_y s_x = i s_z$

スピン磁気モーメント
spin magnetic moment

$$\mu_s = -g \frac{e\hbar}{2mc} s = -g\mu_B s \quad \mu_B = \frac{e\hbar}{2mc}$$

ボーア磁子
Bohr magneton

g -factor: $g = 2.002319$

Q1: Proof of Commutation relation

$$[s_x, s_y] \equiv s_x s_y - s_y s_x = i s_z \quad s = \frac{1}{2} \boldsymbol{\sigma}$$

[Proof]

$$\sigma_x = \begin{pmatrix} 0 & 1 \\ 1 & 0 \end{pmatrix} \quad \sigma_y = \begin{pmatrix} 0 & -i \\ i & 0 \end{pmatrix} \quad \sigma_z = \begin{pmatrix} 1 & 0 \\ 0 & -1 \end{pmatrix} \quad \begin{array}{l} \text{↑} \\ \text{↓} \end{array} = \begin{pmatrix} 1 \\ 0 \end{pmatrix} \quad \begin{array}{l} \text{↑} \\ \text{↓} \end{array} = \begin{pmatrix} 0 \\ 1 \end{pmatrix}$$

$$\sigma_x \sigma_y = \begin{pmatrix} 0 & 1 \\ 1 & 0 \end{pmatrix} \begin{pmatrix} 0 & -i \\ i & 0 \end{pmatrix} = \boxed{\quad}$$

$$\sigma_y \sigma_x = \begin{pmatrix} 0 & -i \\ i & 0 \end{pmatrix} \begin{pmatrix} 0 & 1 \\ 1 & 0 \end{pmatrix} = \boxed{\quad}$$

$$[\sigma_x, \sigma_y] \equiv \sigma_x \sigma_y - \sigma_y \sigma_x = \boxed{\quad} = 2i \sigma_z$$

10

Q2: Eigen states for x -component of spin operator

$$s_x \left| \begin{array}{c} \text{up} \\ \text{down} \end{array} \right\rangle = \frac{1}{2} \left| \begin{array}{c} \text{up} \\ \text{up} \end{array} \right\rangle$$

Superposition of spin-up and down states

$$\left| \begin{array}{c} \text{up} \\ \text{down} \end{array} \right\rangle = \alpha \left| \begin{array}{c} \text{up} \\ \text{up} \end{array} \right\rangle + \beta \left| \begin{array}{c} \text{up} \\ \text{down} \end{array} \right\rangle = \begin{pmatrix} \alpha \\ \beta \end{pmatrix}$$

$$\left| \begin{array}{c} \text{up} \\ \text{up} \end{array} \right\rangle = \begin{pmatrix} 1 \\ 0 \end{pmatrix} \quad \left| \begin{array}{c} \text{up} \\ \text{down} \end{array} \right\rangle = \begin{pmatrix} 0 \\ 1 \end{pmatrix}$$

$$s = \frac{1}{2} \sigma \quad \sigma_x = \begin{pmatrix} 0 & 1 \\ 1 & 0 \end{pmatrix}$$

$$(\text{LHS}) = s_x \begin{pmatrix} \alpha \\ \beta \end{pmatrix} = \frac{1}{2} \sigma_x \begin{pmatrix} \alpha \\ \beta \end{pmatrix} = \frac{1}{2} \begin{pmatrix} 0 & 1 \\ 1 & 0 \end{pmatrix} \begin{pmatrix} \alpha \\ \beta \end{pmatrix} = \boxed{\quad \quad \quad}$$

$$(\text{RHS}) = \frac{1}{2} \begin{pmatrix} \alpha \\ \beta \end{pmatrix} \quad \therefore \alpha = \beta = \boxed{\quad \quad \quad}$$

Normalization

$$|\alpha|^2 + |\beta|^2 = 1$$

スピン軌道相互作用 spin-orbit interaction

$$H_{\text{SO}} = \frac{\hbar}{2m^2 c^2} [\nabla V \times \mathbf{p}] \cdot \mathbf{s}$$

相対論効果
relativistic effect

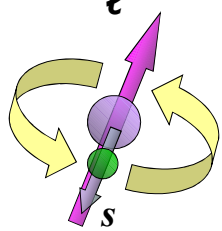
球対称ポテンシャル中 in spherical potential

$$H_{\text{SO}} = \lambda \mathbf{l} \cdot \mathbf{s}$$

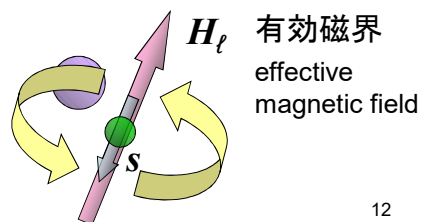
$$H_{\text{SO}} = -\mathbf{H}_\ell \cdot \boldsymbol{\mu}_s$$

$$\lambda = \frac{\hbar^2}{2m^2 c^2} \frac{1}{r} \frac{dV}{dr}$$

ℓ



$$\mathbf{H}_\ell = \frac{\lambda}{g\mu_B} \mathbf{l}$$



有効磁界
effective magnetic field

12

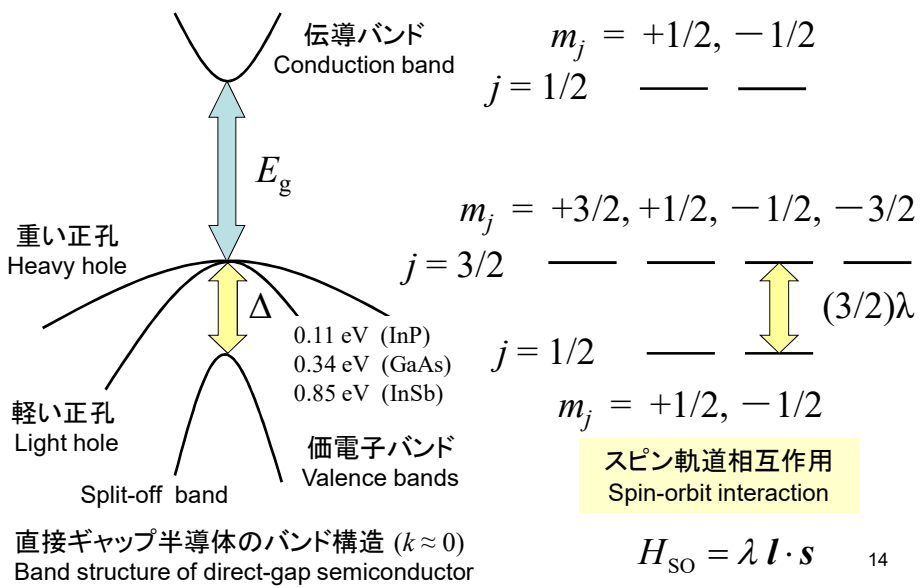
Q3: Energy splitting of p-orbital states ($\ell=1$)

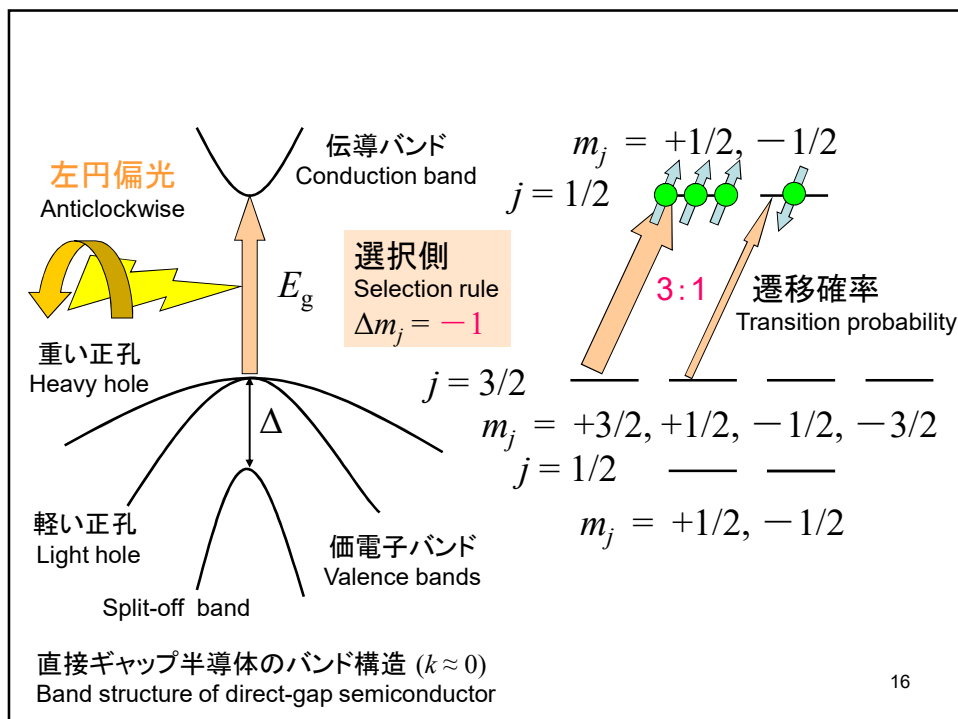
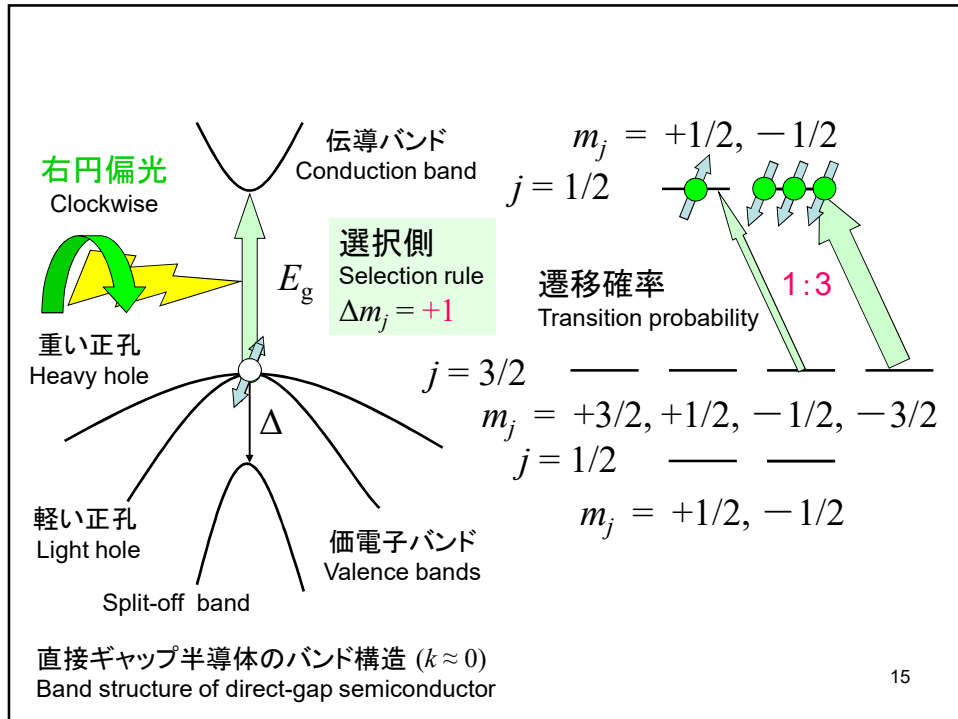
$$\begin{aligned}
 m_\ell &= +1, 0, -1 \\
 m_s &= +1/2, -1/2 \quad = = = \\
 H_{\text{SO}} &= \lambda \mathbf{l} \cdot \mathbf{s} = \frac{\lambda}{2} (\mathbf{j}^2 - \mathbf{l}^2 - \mathbf{s}^2) & \text{全角運動量} \\
 &= \frac{\lambda}{2} [j(j+1) - \ell(\ell+1) - s(s+1)] & \text{Total angular momentum} \\
 j &= 3/2 \quad \text{--- ---} \quad \overline{\text{---}} \quad \overline{\text{---}} \\
 &= 1/2 \quad \text{---} \quad \overline{\text{---}} \quad \Delta = \boxed{} \\
 m_j &= +3/2, +1/2, -1/2, -3/2 \\
 &= +1/2, -1/2
 \end{aligned}$$

13

円偏光によるスピン生成

Spin-polarized electrons created by circularly polarized light





2. 磁場中の磁気モーメントの運動

Motion of a magnetic moment in a magnetic field

17

磁気モーメントの運動 Dynamics of magnetic moments

$$\boldsymbol{\mu} = -g\mu_B \mathbf{s} = -\gamma \hbar \mathbf{s}$$

磁回転比 $\gamma = \frac{g\mu_B}{\hbar}$
gyromagnetic ratio

ハイゼンベルグの運動方程式 Heisenberg's equation of motion

$$i\hbar \frac{d\boldsymbol{\mu}}{dt} = [\boldsymbol{\mu}, H_{\text{Zeeman}}]$$

$$\mathbf{H} = (0, 0, H)$$

$$\frac{d\mu_x}{dt} = -\gamma H \mu_y \quad \frac{d\mu_y}{dt} = +\gamma H \mu_x$$

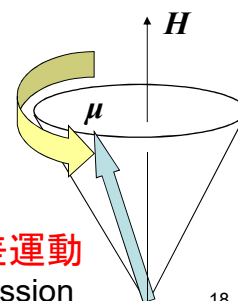
$$\frac{d^2\mu_\alpha}{dt^2} = -\omega_L^2 \mu_\alpha \quad (\alpha = x, y)$$

ラーモア周波数 $\omega_L = \gamma H$
Larmor frequency

Zeeman相互作用

$$H_{\text{Zeeman}} = -\boldsymbol{\mu} \cdot \mathbf{H}$$

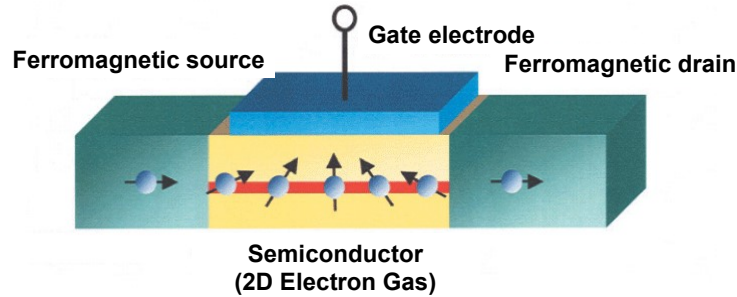
$$\therefore \frac{d\boldsymbol{\mu}}{dt} = -\gamma \boldsymbol{\mu} \times \mathbf{H}$$



ラーモア歳差運動
Larmor precession

18

スピニ電界効果トランジスタ Spin Field Effect Transistor (Spin FET)



Key Issues:

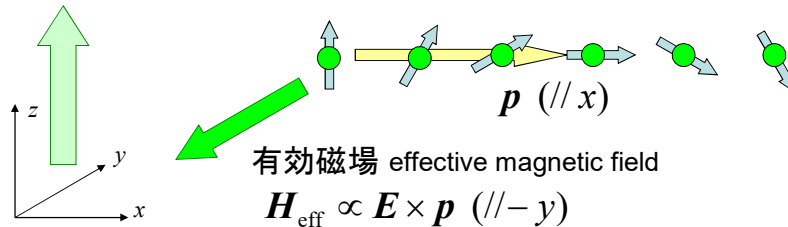
1. *Spin-injection efficiency into semiconductor.*
2. *Spin manipulation by electric field* (gate voltage).

S. Datta and B. Das, Appl. Phys. Lett. **56**, 665 (1990).

ゲート電圧によるスピニ操作 Spin manipulation by gate voltage

ゲート電界 gate electric field

$$\mathbf{E} = -\nabla V \ (\parallel z)$$



スピニ軌道相互作用 spin-orbit interaction

$$H_{\text{SO}} = \frac{\hbar}{2m^2c^2} [\nabla V \times \mathbf{p}] \cdot \mathbf{s} = -\frac{\hbar}{2m^2c^2} [\mathbf{E} \times \mathbf{p}] \cdot \mathbf{s}$$

有効磁場 effective magnetic field

$$\mathbf{H}_{\text{eff}} \propto \mathbf{E} \times \mathbf{p}$$

20

3. 結晶中の磁性イオン(結晶場)

Magnetic ions in a crystal (crystal field)

21

結晶場 crystal field

d 電子軌道の結晶場分裂

crystal-field splitting of d -orbitals

三重縮退

$4D'q$

$6D'q$

二重縮退

$d\gamma$

e

二重縮退

t_2

$6D'q$

三重縮退

$d\varepsilon$

$4D'q$

五重縮退

quintet

t_{2g}

$d\varepsilon$

$4Dq$

三重縮退

$d\varepsilon$

$6Dq$

二重縮退

e_g

$d\gamma$

二重縮退

$6Dq$

$4Dq$

三重縮退

$d\varepsilon$

t_{2g}

$d\varepsilon$

$4Dq$

三重縮退

$d\varepsilon$

$6Dq$

二重縮退

e_g

$d\gamma$

$6Dq$

二重縮退

多重項 multiplet 原子の多電子状態
Many-electron states of atom

最低エネルギー多重項に関するフントの規則
Hund's rule for ground state multiplet

第1則: 全スピン角運動量 S 最大
1st rule: Total spin angular momentum S : maximum

第2則: 全軌道角運動量 L 最大
2nd rule: Total orbital angular momentum L : maximum

$S = \sum_{i=1}^{n_d} s_i$
 $L = \sum_{i=1}^{n_d} l_i$

$m_s = +1/2 \quad -1/2$

$m = +2$		
$+1$		
0		
-1		
-2		

ex.) Two d electrons (Ti^{2+} , V^{3+})
最低エネルギー多重項
ground-state multiplet

^3F $S = 1, L = 3$

General expression:

$2S+1 L'$ $L = 0, 1, 2, 3, \dots$
 $L' = S, P, D, F, \dots$

23

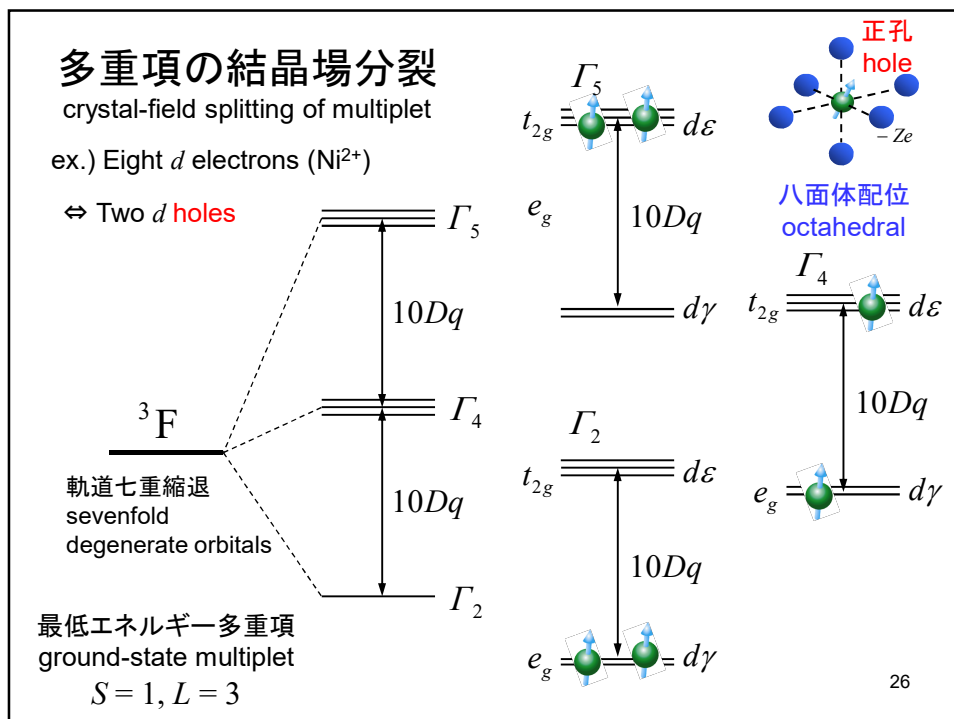
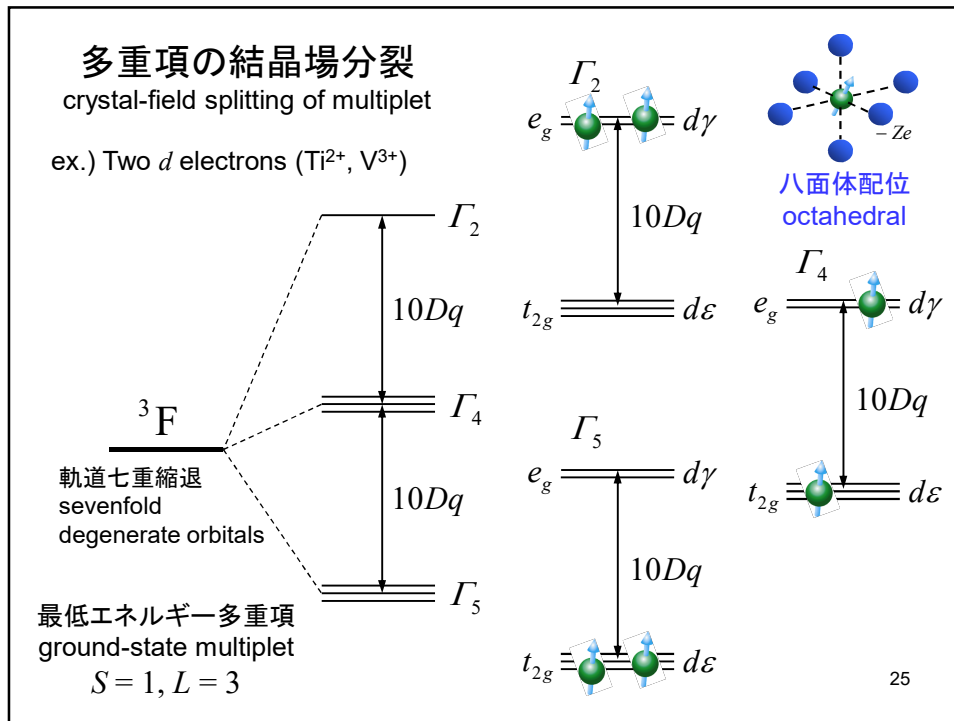
Q4: Ground-state multiplet of 3d transition ions

3d electron number	1	2	3	4	5	6	7	8	9
S		1							
L		3							
Ground-state multiplet		^3F							

General expression:

$2S+1 L'$ $L = 0, 1, 2, 3, \dots$
 $L' = S, P, D, F, \dots$

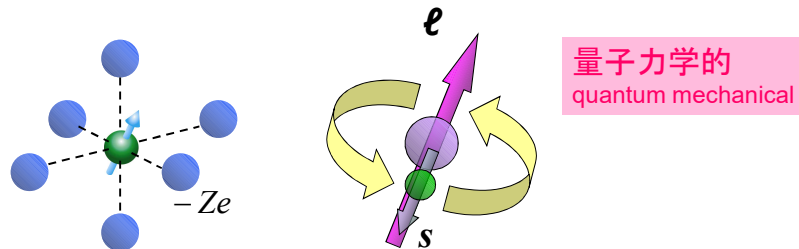
24



結晶磁気異方性 magneto-crystalline anisotropy

局在スピン系(絶縁体) localized spin system (insulator)

結晶場 + スピン軌道相互作用
crystal field + spin-orbit interaction



$$H_{SO} = \lambda \mathbf{l} \cdot \mathbf{s}$$

27

スピン軌道相互作用 spin-orbit interaction

$$H_{SO} = \lambda \mathbf{L} \cdot \mathbf{S} \quad \lambda = \frac{\hbar^2}{2m^2c^2} \frac{1}{r} \frac{dV}{dr}$$

相対論効果
relativistic effect

スピン軌道相互作用の効果(二次摂動)
Effect of spin-orbit interaction (2nd order)

重元素に対して顕著
significant for heavy elements

$$H_S = -\lambda^2 \sum_{\mu,\nu} \Lambda_{\mu\nu} S_\mu S_\nu \quad \Lambda_{\mu\nu} = \sum_{n(\neq 0)} \frac{\langle 0 | L_\mu | n \rangle \langle n | L_\nu | 0 \rangle}{E_n - E_0} \quad (\mu, \nu = x, y, z)$$

Price's spin Hamiltonian

結晶磁気異方性(二次)
Magneto-crystalline anisotropy

結晶の対称性
crystal symmetry

$$H_A^{(2)} = D S_z^2 + E (S_x^2 - S_y^2) \quad D > 0 : \text{面内容易型}\br/>easy plane$$

正方晶
tetragonal

斜方晶
orthorhombic

D < 0 : 一軸容易型
uniaxial

28

Q5: Energy splitting by uniaxial magnetic anisotropy ($S = 1$)

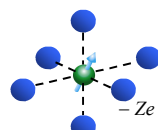
結晶磁気異方性(正方晶)
Magneto-crystalline anisotropy (tetragonal)

$$H_A^{(2)} = DS_z^2 \quad D < 0 : \begin{matrix} \text{一軸容易型} \\ \text{uniaxial} \end{matrix}$$

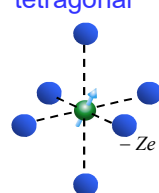
スピン量子数

$$S = 1 \quad \equiv \cdots$$

立方晶
cubic



正方晶
tetragonal

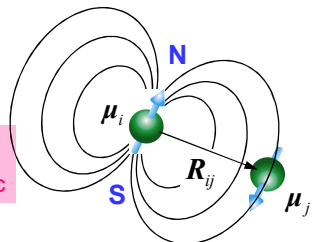


29

磁気異方性
Magnetic anisotropy

磁気双極子・双極子相互作用
magnetic dipole-dipole interaction

電磁気学的
Electromagnetic



結晶磁気異方性
magneto-crystalline anisotropy

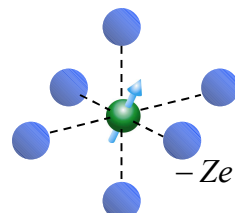
量子力学的
Quantum mechanical

局在スピン系(絶縁体)
Localized spin system (insulator)

結晶場 + スピン軌道相互作用
crystal field spin-orbit interaction

遍歴スピン系(金属)
Itinerant electron system (metal)

電子バンド構造 + スpin軌道相互作用
electronic structure spin-orbit interaction



30

4. 原子核と電子の相互作用

Interaction between atomic nuclei and electrons

31

核磁気モーメント

nuclear magnetic moment

$$\boldsymbol{\mu}_n = g_N \mu_N \mathbf{I} = \frac{\gamma_N}{\hbar} \mathbf{I}$$

g_N : 核 g -因子
nuclear g -factor

\mathbf{I} : 核スピン nuclear spin

$$(I = 1/2, 1, 3/2, 2, \dots) \quad \mu_N \approx \frac{1}{1600} \mu_B$$

γ_N : 核磁気回転比
nuclear gyromagnetic ratio

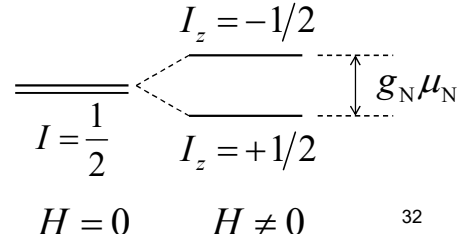
$\mu_N = \frac{e\hbar}{2M_p c}$: 核磁子
nuclear magneton

M_p : 陽子の質量
proton mass

Zeeman相互作用

$$H_{\text{Zeeman}} = -\boldsymbol{\mu}_n \cdot \mathbf{H}$$

- 外部磁場 external magnetic field
- 超微細磁場 hyperfine field



超微細相互作用 Hyperfine interaction

原点にある核スピン I と電子の間にはたらく相互作用

磁気双極子相互作用 p, d, f 電子
magnetic dipole interaction

$$H_{\text{dipole}} = -\gamma_N \gamma_e \hbar^2 \frac{\mathbf{I} \cdot \mathbf{s} - 3(\mathbf{I} \cdot \hat{\mathbf{r}})(\mathbf{s} \cdot \hat{\mathbf{r}})}{r^3}$$

フェルミ接触相互作用 s 電子
Fermi contact interaction

軌道角運動量との相互作用
interaction with orbital moment

$$H_{\text{Fermi}} = \frac{8\pi}{3} \gamma_N \gamma_e \hbar^2 \mathbf{I} \cdot \mathbf{s} \delta(\mathbf{r}) \quad H_{\text{orbital}} = \gamma_N \gamma_e \hbar^2 \frac{\mathbf{I} \cdot \mathbf{l}}{r^3}$$

内殻分極相互作用
core polarization interaction

原子核位置における
 s 電子のスピン密度分極

$$H_{\text{core}} = \frac{8\pi}{3} \gamma_N \gamma_e \hbar^2 \mathbf{I} \cdot \mathbf{s} \left[|\psi_{\uparrow}(0)|^2 - |\psi_{\downarrow}(0)|^2 \right]$$

33

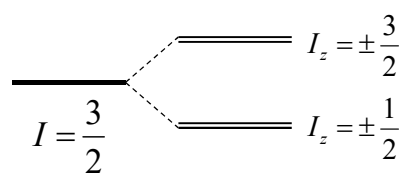
四重極相互作用 Quadrupole interaction

原子核の電気四重極モーメントと電子のつくる静電場との相互作用

核四重極モーメント
nuclear quadrupole moment $eQ = e \int (3z^2 - r^2) \rho_N(\mathbf{r}) d^3r$
 $e\rho_N(\mathbf{r})$: 原子核の電荷密度

原子核位置における電場
electric-field gradient on nucleus

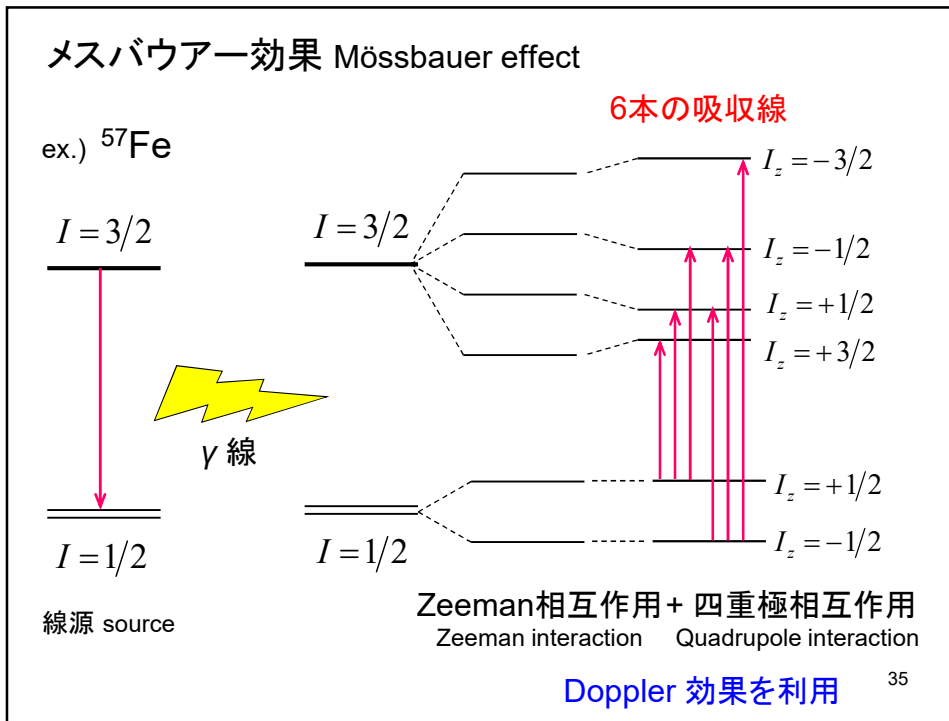
$$eq = -\frac{dE_z}{dz} \Big|_{r=0} = \frac{d^2V}{dz^2} \Big|_{r=0}$$



四重極相互作用(一軸対称性)
quadrupole interaction (uniaxial)

$$H_{\text{quad}} = \frac{e^2 q Q(I_z)}{2} = \frac{e^2 q Q}{4I(2I-1)} [3I_z^2 - I(I+1)]$$

34



参考文献

- [1] 金森順次郎:「磁性」(培風館, 1969).
- [2] 近角總信:「強磁性体の物理(上)」(裳華房, 1978).
- [3] 金森順次郎, 他:「固体」(岩波書店, 1994).
- [4] 安達健五:「化合物磁性 局在スピン系」(裳華房, 1996).
- [5] 望月和子, 鈴木 直:「固体の電子状態と磁性」
(大学教育出版, 2003).
- [6] 吉田 博, 他:「スピントロニクスのための計算機
ナノマテリアルデザイン」(内田老鶴園, 2022).

白井 正文 (Shirai, Masafumi)
東北大学 電気通信研究所
E-mail: masafumi.shirai.b8@tohoku.ac.jp 36